

RESEARCH ON TEMPERATURE AND HUMIDITY COMPENSATION OF SENSOR MEASURED VALUES MQ-7

POPA SORIN EUGEN^{1*}, PUIU PETRU GABRIEL¹

Universit  "Vasile Alecsandri" du Bac u, Calea M r eşti 156, Bac u, 600115, Roumanie

Abstract: The paper aims to determine the mathematical formula to enable correction of the measured values of the sensor using MQ-7 with change in ambient temperature and humidity dependency curve provided by the sensor manufacturer.

Keywords: MQ-7, carbon monoxide sensor, the error correction

1. INTRODUCTION

Les travaux de recherche pr sent s dans ce papier s'inscrivent dans le cadre de l'analyse de la qualit  de l'air en utilisant des appareils portables, comme indiqu  dans le document [1].

Le monoxyde de carbone, gaz incolore, inodore et insipide, inhal e par les humains conduit   l'intoxication et m me   la mort. L' mergence de monoxyde de carbone est caus e par une combustion incompl te dans les chaudi res, cuisini res, et les voitures m is galement par des sources de feu ouvert dans des locaux non a r s ou avec une ventilation insuffisante. L'objectif de cet article est de d velopper un syst me efficace pour la d tection du monoxyde de carbone en utilisant un capteur sp cialis , par exemple le capteur de gaz MQ-7, et en faisant la correction en temps r el des valeurs d tect es en fonction des changements de temp rature et d'humidit . Le capteur MQ-7 permet de d tecter des valeurs de monoxyde de carbone,   une concentration comprise entre 20 et 2000 ppm, mais il n'est pas capable de faire la correction en fonction de la temp rature et de l'humidit  de l'environnement. Les corrections sont faites en utilisant le taux d'humidit  et la temp rature relev e par une sonde de temp rature SHT11 et en tenant compte des sch mas de d pendance du capteur en fonction de la temp rature et de l'humidit  du MQ-7 fournis par le fabricant. Deux courbes de sensibilit  du capteur sont donn es. L'une repr sente le rapport de variation R_s / R_o en fonction de la quantit  de CO dans l'atmosph re, mesur e   20   C et pour une humidit  relative de 65% HR, et deux autres courbes donnent R_s / R_o pour une concentration de CO constante de 100 ppm, sur la base d'une variation de la temp rature et du taux d'humidit  relative respectivement de 33% HR et 88% HR. Ces courbes sont traduites   l'aide d' quations analytiques pour pouvoir ensuite corriger les valeurs mesur es en fonction de la temp rature et du taux d'humidit . La correction s'effectue en temps r el au moyen d'un microcontr leur, ATMEGA328, sur une carte de d veloppement Arduino [7]. Pour v rifier l'exactitude des calculs, nous avons effectu  un test du logiciel en rentrant diff rentes valeurs de CO, de temp rature et de taux d'humidit , et en comparant les valeurs de sortie du ratio R / R_o aux donn es fournies par le constructeur. L'avantage du logiciel pr sent  dans le document est d'obtenir la mesure du CO avec une grande pr cision,  liminant les erreurs dues aux fluctuations de temp rature et d'humidit  [6].

2. MONTAGE EXP RIMENTAL

La figure 1 montre le sch ma de c blage du dispositif exp rimental utilis . Il contient: une carte Arduino Ethernet, un capteur de CO, MQ7, un stabilisateur de tension pour capteur de gaz, un capteur de temp rature et d'humidit  SHT11.

* Corresponding author e-mail: sorin.popa@ub.ro

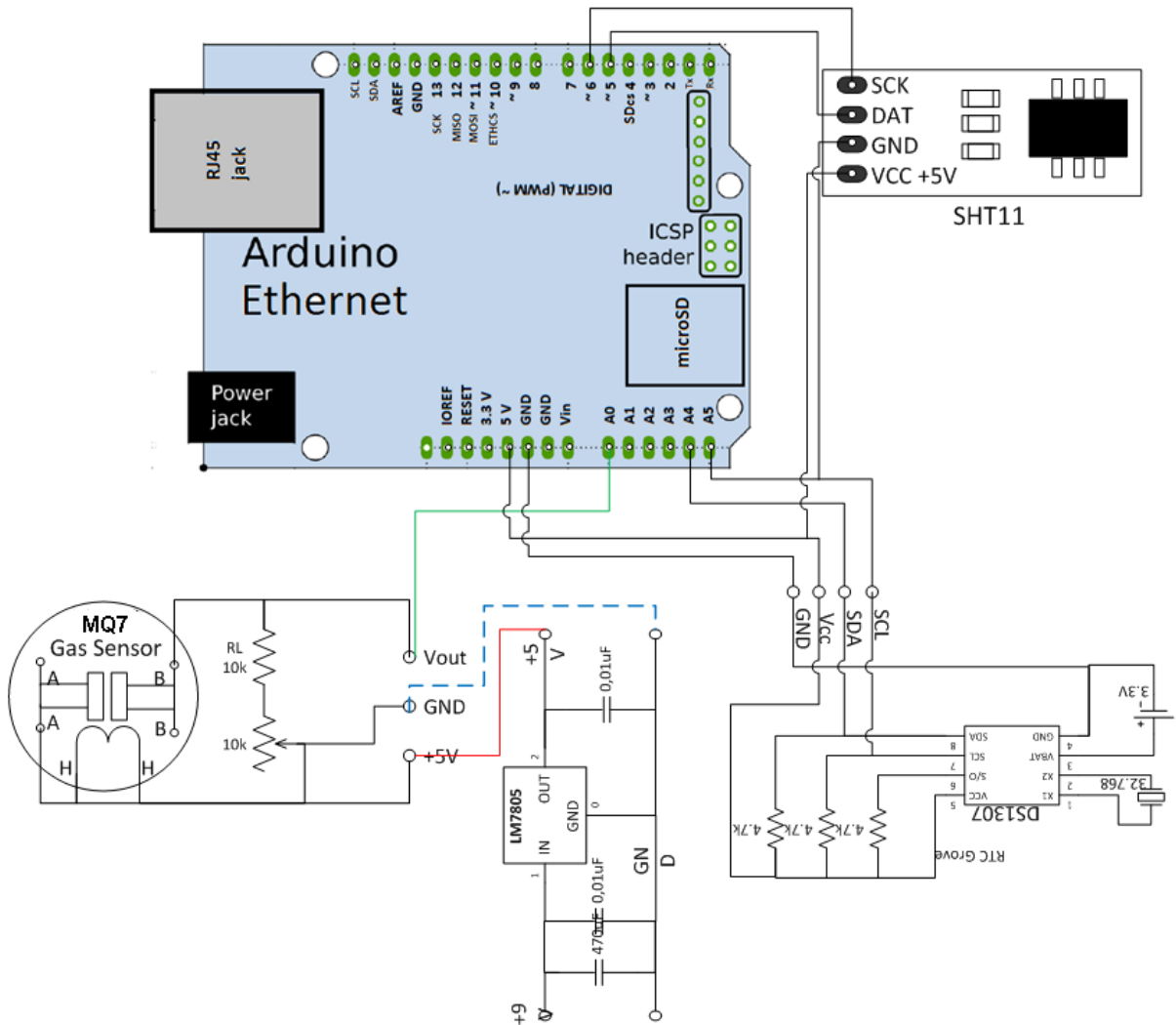


Fig.1. Schéma de câblage du dispositif expérimental utilisé.

Les correction de la température et de l'humidité, sont basées sur la dépendance de la caractéristique du rapport R/R_0 fonction de la température et un capteur d'humidité de données fabricant MQ 7 et représenté sur la figure 2. Pour déterminer équation mathématique qui définit cette dépendance, on a transposé les deux courbes dans une feuille de calcul Excel, comme représenté sur la Figure 3 et dans le tableau 1 les valeurs en traçant le graphe.

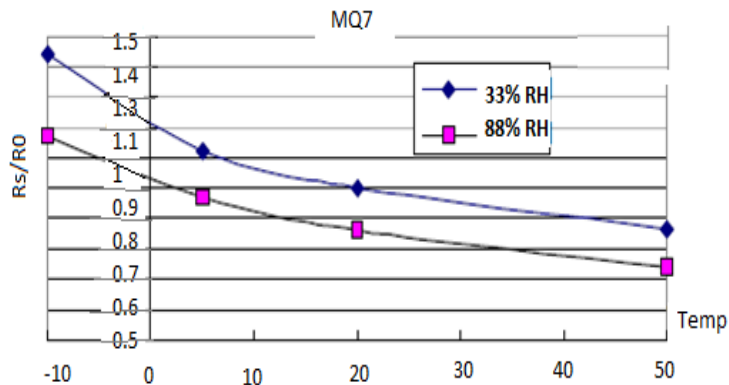


Fig. 2. Dépendance typique du capteur MQ-7 en fonction de la température et de l'humidité.

R_0 : la résistance du capteur pour une concentration de 100 ppm de CO dans l'air et un taux d'humidité de 33% et 20 degrés. R_s : résistance du capteur pour une concentration de 100 ppm de CO pour différentes températures et taux d'humidité.

Tableau 1. Valeurs du rapport R_s / R_0 en fonction de la température et du taux d'humidité

Température °C	-10	0	10	20	30	40	50
R_s / R_0 (88% RH)	1.19	1.02	0.91	0.84	0.8	0.76	0.73
R_s / R_0 (60.5% RH)	1.32	1.115	0.995	0.92	0.875	0.83	0.795
R_s / R_0 (33% RH)	1.45	1.21	1.08	1	0.95	0.9	0.86

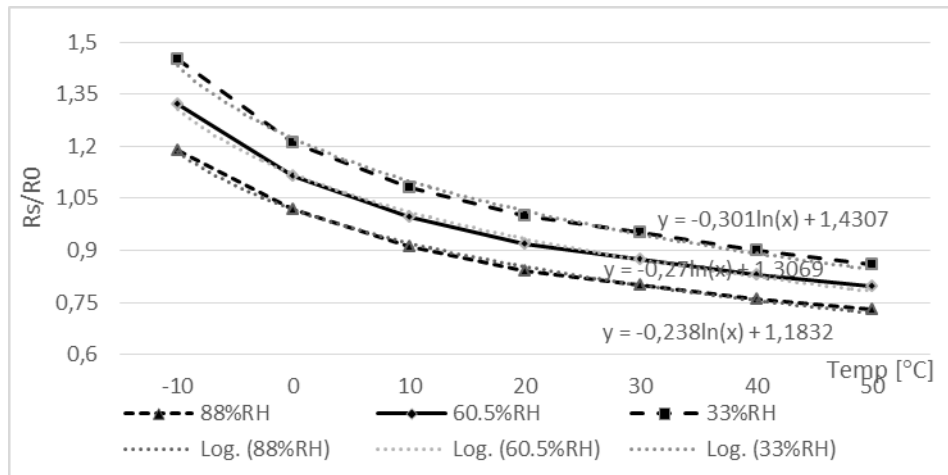


Fig.3. Dépendance du paramètre R_s / R_0 en fonction de la température et du taux d'humidité

L'approximation sous Excel des courbes de tendance de la dépendance R_s / R_0 conduit à une courbe logarithmique de la forme:

$$\frac{R_s}{R_0} = a * \ln(t) + b \quad (1)$$

Où t est la température ambiante [° C], et b un paramètre fonction du taux d'humidité, qui sera déterminé par la suite.

La figure 4 montre la variation de paramètres a et b d'humidité relative et les valeurs numériques du tableau 2.

Tableau 2. Les valeurs des paramètres a et b en fonction de l'humidité relative

paramètres	HR [%]	
	0.33	0.88
a	-0.238	-0.301
b	1.1832	1.4307

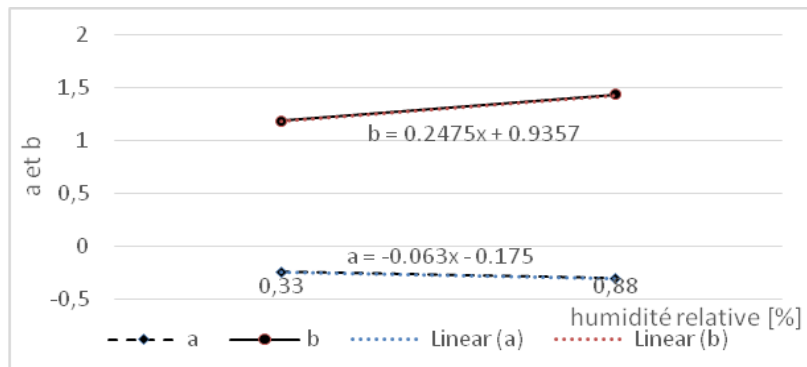


Fig.4. Dépendance des paramètres a et b en fonction de l'humidité

Les équations de variation des paramètres a et b sont:

$$a = -0.063 * hr - 0.175 \quad (2)$$

$$b = 0.247 * hr + 0.9357 \quad (3)$$

où hr est la valeur d'humidité relative comprise entre 0,0 et 1,0.

En combinant les équations 1, 2 et 3 nous obtenons l'équation de la variation de R_s / R_0 en fonction de l'humidité et de la température:

$$\frac{R_s}{R_0} = (-0,063 * hr - 0,175) * \ln(t) + (0,247 * hr + 0,9357) \quad (4)$$

3. CONCLUSIONS

Ce travail nous a permis d'obtenir un algorithme de correction de performances pour un capteur MQ-7 permettant la mesure des concentrations en CO en tenant compte de la température et de l'humidité.

La solution retenue utilise des équipements et des techniques modernes, et nécessite une connaissance approfondie de microcontrôleurs langage de programmation C++. Il serait possible d'améliorer le fonctionnement du capteur :

- En utilisant une plate-forme matérielle avec un microcontrôleur puissant pour écrire plus de code et ainsi ajouter des fonctionnalités supplémentaires à l'appareil – En effet, le programme actuel utilise 96% de l'espace de stockage et 80% de la mémoire de variables allouées dynamiquement;
- En créant un serveur web, permettant un suivi en ligne des paramètres mesurés ou un téléchargement en utilisant les technologies Internet

RÉFÉRENCES

- [1] Popa Sorin Eugen, Research on air quality analysis with portable devices, Proceedings of Plumee 2014, vol. 4, no. 1, 2014, p. 71-75.
- [2] <http://www.robofun.ro/docs/sht1.pdf>
- [3] <https://www.sparkfun.com/datasheets/Sensors/Biometric/MQ-7.pdf>
- [4] <http://wiring.org.co/learning/basics/airqualitymq135.html>
- [5] Petru Gabriel Puiu, Alexandru Dragos Andrioaia, Cornel Toma- A new Approach to Achieving the Command and Control Modules Embedded in Smart Home Building, IMANE 2015
- [6] Culea, G.; Bucur, I., Popescu, Tracking system for photovoltaic panels realized with Twido controller, Annals of DAAAM for 2007 & Proceedings, vol. 18, 201-202, NO. 1, PP 296, Editor Branko Katalinic, Published by DAAAM INTERNATIONAL, Vienna, Austria 2007, ISSN 1726-9679, ISBN 3-901509-58-5
- [7] Popescu, C.; Culea, G., Bucur, I, Wireless embedded application for automation systems, Annals of DAAAM for 2007 & Proceedings, vol. 18, 587-588, NO. 1, PP 296, Editor Branko Katalinic, Published by DAAAM INTERNATIONAL, Vienna, Austria 2007, ISSN 1726-9679, ISBN 3-901509-58-5